

# 第七章 编织码

2017/5/2

# 本章内容

- **第七章 编织码**
  - **7.1 编织码编码基本原理**
  - **7.2 编织码的译码**

## 第七章 编织码

- 编织码（Woven Code）是在编织卷积码（1997年由三位欧洲学者提出）的基础上发展起来的一种组合码。最早的组合编码是级联码，由Forney提出，其目的是找到一类纠错码及其译码算法，在 $R < C$ 的情况下使得差错概率随码长呈指数下降，而译码复杂度呈代数关系增加，从而获得高的编码增益。由于使用了两个或更多相对简单的成员码来构成级联码，因此，其纠错性能和许多非级联码的长码相当。常见结构形式是内码采用约束长度短的卷积码和最大似然译码算法，外码采用高码率的多进制RS码和代数译码结构。
- Turbo码的出现提供了一个性能优越的编码方法，其思想精髓被推广到其他的编码方案中。1998年，Benedntto提出了以卷积码为成员码的串行级联卷积码（SCCC），该码保持了Turbo码在低信噪比时的最大似然译码性能，同时消除了Turbo码在高信噪比时的“误码平台”效应。除了以卷积码为分量码外，还可以用分组码作分量码，Pyndiah提出了分组Turbo码。于是，在这样的思路引导下，Host提出了编织卷积码（WCC），又推广到更一般的编织码，其系统结构可完全包容传统分组码、卷积码以及各类Turbo码。

# 7.1 编织码编码基本原理

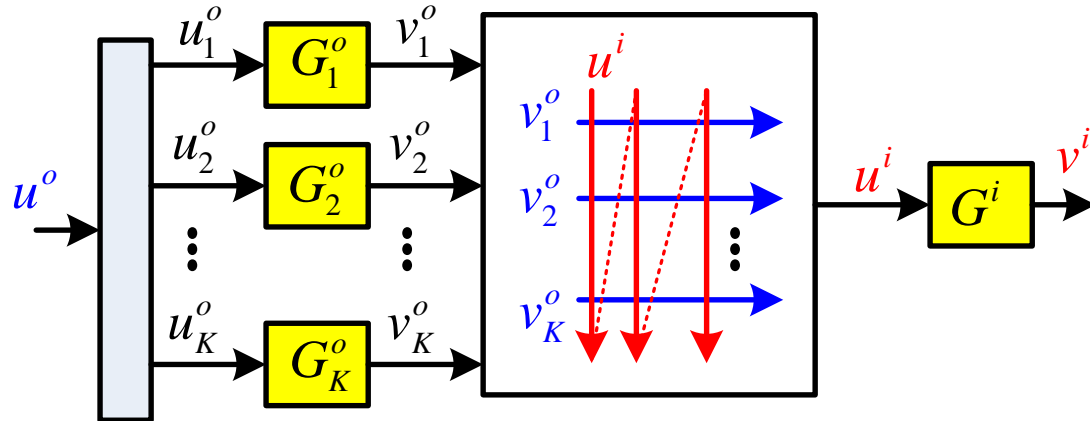
- 编织码的基本原理类似于纺织业中的织布原理，其编码结构主要有三种：外经（Outer Warp）、内经（Inner Warp）和斜纹（Twill）结构。它们是指外编码器的输出码字比特在缓冲器中以按列读出（外经）或按行读出（内经）输入到各个内编码器。



1. Host's Ph.D thesis: [On Woven Convolutional Codes](#). 1999
2. Host, etc. [Woven Convolutional Codes I: Encoder Properties](#). IEEE Trans. On Info. Theory. Vol.48, No.1. 2002. p149—161.
3. Jordan, etc. [Woven Convolutional Codes II: Decoding Aspects](#). IEEE Trans. On Info. Theory. Vol.50, No.10. 2004. p2522—2529.

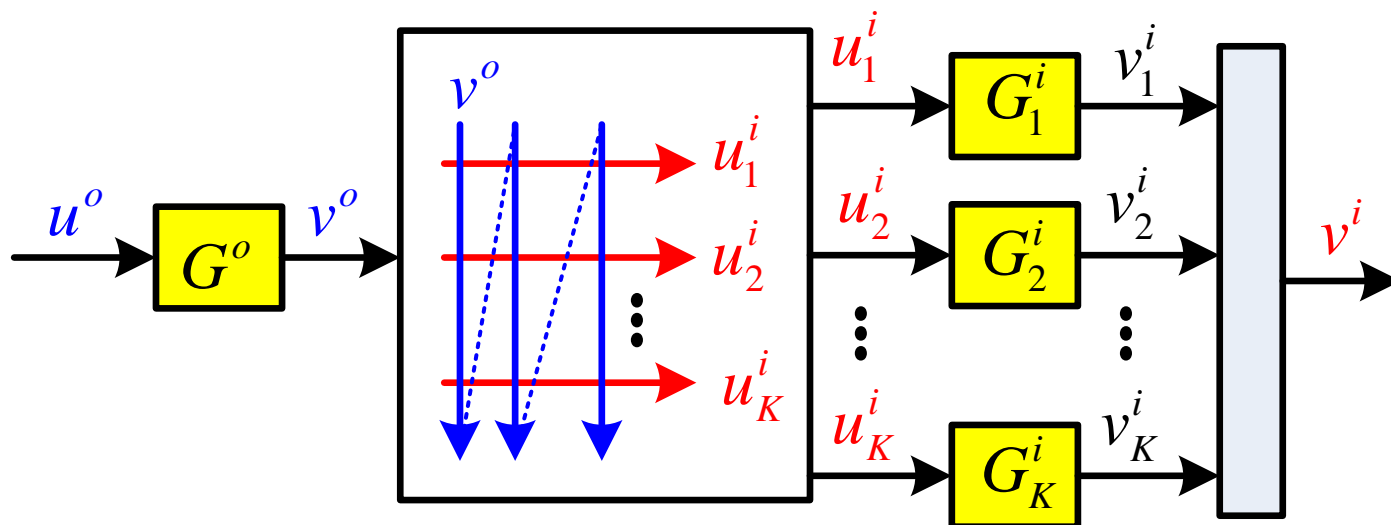
# 外经结构编码器

- 外经编码器结构如下图所示，假定外编码器由 $K$ 个普通二进制编码器并行级联组成，所有成员编码器生成矩阵  $G_k^o$  ( $k=1, 2, \dots, K$ ) 可以相同，也可以不同。内编码器由一个普通二进制编码器构成，其生成矩阵为 $G^i$ 。假定外编码器的每个子编码器的码率为 $R_0=b_0/c_0$ ，即输入信息比特数为 $b_0$ ，输出序列长为 $c_0$ 。 $u$ 被分为 $K$ 个 $b_0$ 长度的数据块，即图中的  $u = \left( u^{(1)} u^{(2)} \cdots u^{(b_0)} \right)$ ，每个  $u^{(i)} = \left( u_1^{(i)} u_2^{(i)} \cdots u_K^{(i)} \right)$ ， $i=1, \dots, b_0$ ，第 $k$ 个成员编码器的信息序列就为  $u_k^o = \left( u_k^{(1)} u_k^{(2)} \cdots u_k^{(b_0)} \right)$ ，这些信息子块再以并行的方式输入到 $K$ 个并联的子编码器中，每个子编码器的输出序列（长度为 $c_0$ ）以串行方式按行写入缓冲器（共 $K$ 行），缓冲器的输出按列读出，作为内编码器（编码速率为 $R_i=b_i/c_i$ ）的输入信息序列，此结构的总编码速率为 $R=R_0R_i$ 。



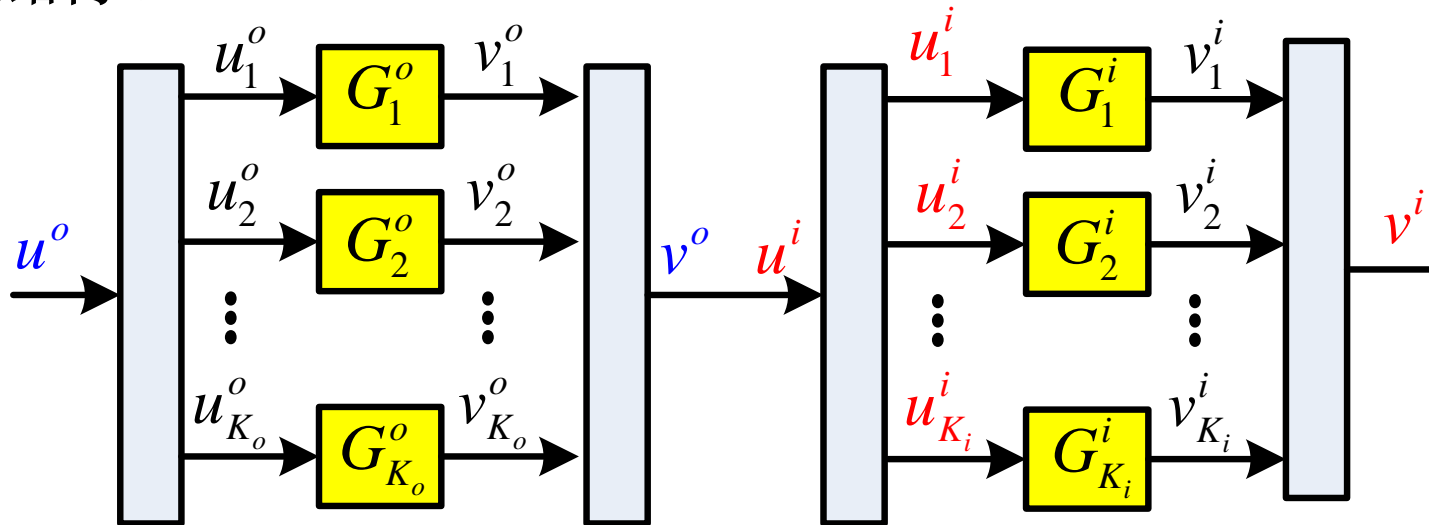
# 内经结构编码器

- 与外经结构相反，内经结构中是由一个二进制编码器作为外编码器， $K$ 个并联二进制编码器构成内编码器。外编码器的输出码序列按列写入缓冲器（共 $K$ 行），作为 $K$ 个并联内编码器的信息序列。外编码器的编码速率为 $R_0=b_0/c_0$ ，内编码器的编码速率为 $R_i=b_i/c_i$ ，则内经编码器的总的编码速率为 $R=R_0R_i$ 。



# 斜纹结构编码器

- 斜纹结构是前两种结构的综合，如下图所示。外编码器由 $K_o$ 个码率为 $R_o=b_o/c_o$ 的二进制编码器并联组成，内编码器由 $K_i$ 个码率为 $R_i=b_i/c_i$ 的二进制编码器并联组成。信息序列 $u^o$ 被分为 $K_o K_i b_o$ 长的子块，这些子块输入到 $K_o$ 个并联的外编码器，输出按行写入缓冲器，按列读出作为内编码器的信息序列，输入到 $K_i$ 个并联的内编码器。斜纹编码器的总的编码速率为 $R=R_o R_i$ 。
- 显然，外经结构和内经结构都是斜纹结构的特殊情况。当 $K_i=1$ 及 $K_o>1$ 时为外经结构，当 $K_i>1$ 及 $K_o=1$ 时为内经结构，当 $K_i=1$ 及 $K_o=1$ 时为通常的级联码结构。



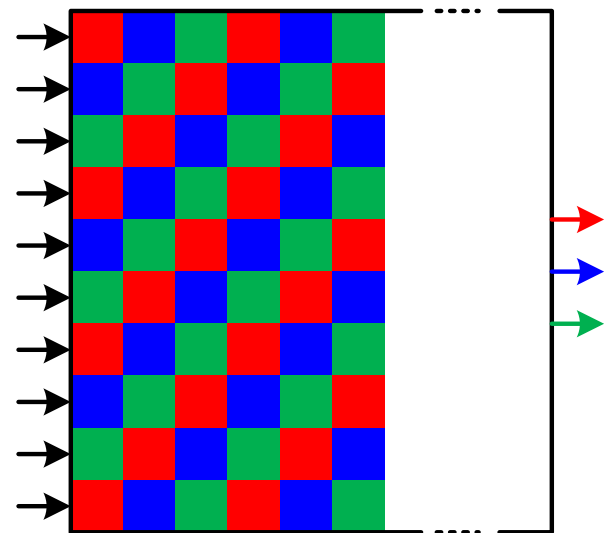
- 在斜纹结构中， $K_o$ 和 $K_i$ 的值应满足： $\gcd(K_o, K_i)=1$ ，如不满足，则编织码的经纬不能构成斜纹。

例如 $K_o=10$ ， $K_i=3$ 时，内编码器和外编码器间缓冲器中信息分布如图（a）所示。

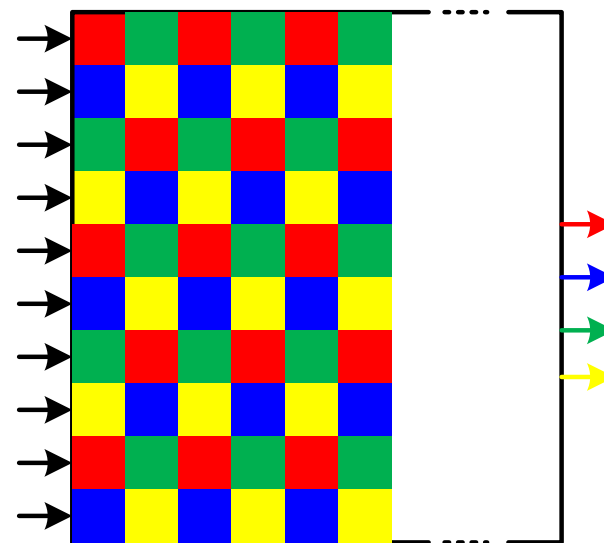
左边10个箭头表示外编码器，右边3个箭头表示内编码器，缓冲器中来自外编码器的码流按行写入，读出按列进行。即第一个码比特输入到第一个内编码器作为它的信息比特，第二个码比特输入到第二个内编码器，第三个码比特输入到第三个内编码器，第四个码比特输入到第一个内编码器，依次类推。可见，输入到相应内编码器的比特序列在缓冲器中组成图（a）中的斜纹结构。

例如 $K_o=10$ ， $K_i=4$ 时，内编码器和外编码器间缓冲器中信息分布如图（b）所示。

形成不了斜纹结构！相当于两个 $K_o=5$ ， $K_i=2$ 的斜纹编码器的并联。



(a)



(b)



# 编织码的分类

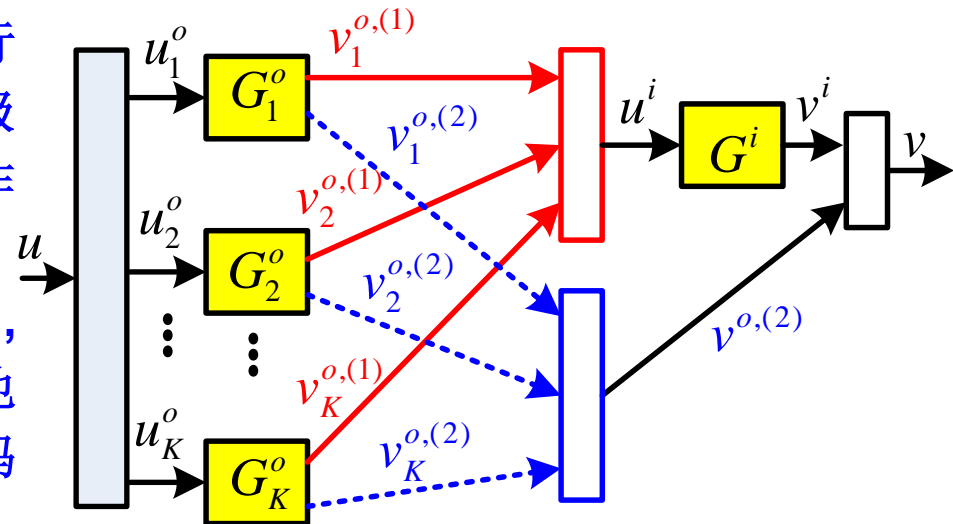
- 编织码的包容性很强，具体体现在分量码型上，按其分量码型的组成可分为两大类：一是其分量码为单一码型的，即内外码采用同样的码型；二是其分量码为混合码型，即内外码型不同。无论是哪一类分量码型，经过编织后所构成的新码型（编织码），其距离都得到了提高（即纠错能力提高）。不同的码型采用不同的交织器。

## (1) 编织卷积码 (WCC, Woven Convolutional Code)

WCC是串行级联卷积码，其内外编码器都是卷积码，总体上可视为一个卷积码，因此可以用卷积码的性质来分析和优化。（研究最为广泛）

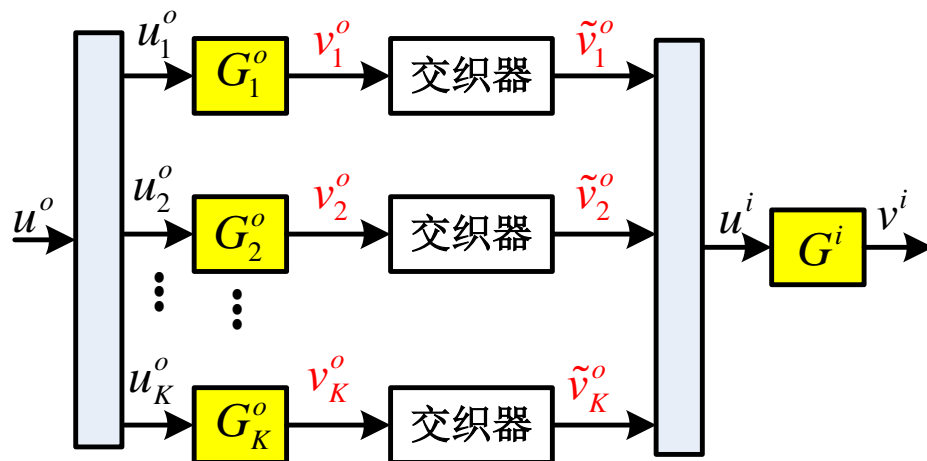
## (2) 编织Turbo码 (WTC)

WTC的编码器结构如图所示，它由K个并行的外编码器和一个内编码器组成（都是卷积码）。信息序列 $u$ 被分为K个子块，分别作为K个码率为 $R_o = b_o/c_o$ 的外编码器的输入，外编码器的部分输出序列  $v_k^{o,(1)}$  ( $k = 1, 2, \dots, K$ )组成内编码器的输入序列 $u_i$ ，其他输出序列  $v_k^{o,(2)}$  ( $k=1, 2, \dots, K$ )直接与内编码器的输出 $v_i$ 一起组成最终的编织码 $v$ 。



### (3) 编织分组码 (WBC)

WBC编码器如下图所示，外码编码器由K个分组码编码器或者卷级码编码器组成，内码编码器由一个卷级码编码器构成，交织器按行交织。



### (4) 串行级联码 (SCC, Serial Cascaded Code)

SCC编码器如下图所示，由内外码编码器及交织器级联组成，它可看成编织码的特例。



## 7.2 编织码的译码

- 以编织卷积码为例，讲解译码原理。WCC的译码与其编码特性有关，由于WCC为组合编码，其译码可以采用Turbo码的译码方式，将各个成员码分离出来分别进行译码，最后再将各译码器的值按一定的方式组合，就可得到最终的译码结果；也可采用内外译码器迭代的方式来提高译码的准确性。
- WCC的译码主要有三种：传统的软输入软输出Viterbi译码（SOVA）<sup>[1]</sup>、SW-BCJR译码算法<sup>[2]</sup>和pipeline译码算法<sup>[3]</sup>。
  1. **S. Benedetto, etc. [A soft-input soft-output APP module for iterative decoding of concatenated codes](#). IEEE Communications letters. Vol.1, No.1, 1997. p22-24.**
  2. **S. Benedetto, etc. [Soft-output Decoding Algorithms in Iterative Decoding of Turbo Codes](#). TDA Progress Report. 1996. p63-87.**
  3. **R. Jordan, etc. [Pipeline Decoding of Woven convolutional codes](#). Proc. 3<sup>rd</sup> ITG Conf. Source, Channel Coding. Munich, 2000.**

# BCJR 算法

- 为了应用迭代译码，我们需要对成员码进行软输出译码（如BCJR和SOVA），我们主要讲解BCJR算法。
- 假设接收序列为 $r$ ，信息序列或码字序列的先验概率为  $P(u_t^{(j)})$  或  $P(v_t^{(j)})$ ，我们可以计算出对应的后验概率  $P(u_t^{(j)} | r)$  或  $P(v_t^{(j)} | r)$ ，如下图所示。



定义信息序列为  $u_{[0,T]} = (u_0, u_1, \dots, u_{T-1})$ ，每个信元  $u_t$  是一个二进制 **b-tuple**， $T$  是帧长，对应的码字序列为  $v_{[0,T]} = (v_0, v_1, \dots, v_{T-1})$ ，其中  $v_t$  是一个二进制 **c-tuple**，即编码效率为  $b/c$ ；状态序列为  $S_{[0,T]} = (\sigma_0, \sigma_1, \dots, \sigma_T)$ ，状态  $\sigma_t$  是一个二进制矩阵，表示编码器在  $t$  时刻的物理状态，我们用  $S$  来表示所有可能的状态集合；这样接收序列可表示成  $r_{[0,T]} = (r_0, r_1, \dots, r_{T-1})$ ，其中每个接收到的信元  $r_t$  都是一个 **c-tuple** 的信道信元。

➤ 假设信道是无记忆的AWGN信道，给定码字序列的情况下，接收序列  $r_{[0,T]}$  的概率为：

$$P(r_{[0,T]} | v_{[0,T]}) = \prod_{t=0}^{T-1} P(r_t | v_t) = \prod_{t=0}^{T-1} \prod_{j=1}^c P(r_t^{(j)} | v_t^{(j)})$$

其中  $P(r_t^{(j)} | v_t^{(j)})$  是信道转移概率。

已知信息或码序列的先验概率，很容易得到网格图中各分支的先验概率  $P(S_{t+1} = \sigma' | S_t = \sigma)$  或  $P(S_t = \sigma | S_{t+1} = \sigma')$ 。考虑一个分支： $t$ 时刻在状态  $\sigma$ ， $t+1$ 时刻在状态  $\sigma'$ 。

初始条件  $P(S_0 = \sigma) = 1/|S|$ ，其中  $|S|$  表示状态数，有  $P(S_t = \sigma) = 1/|S|$ ， $t=1,2,\dots$ ，则有  $P(S_{t+1} = \sigma' | S_t = \sigma) = P(S_t = \sigma | S_{t+1} = \sigma')$

为了简化表示，引入4个变量：

$$\alpha_t(\sigma) \triangleq P(S_t = \sigma | r_{[0,t]})$$

$$\beta_t(\sigma) \triangleq P(S_t = \sigma | r_{[t,T]})$$

$$\gamma_t(\sigma, \sigma') \triangleq P(S_{t+1} = \sigma'; r_t | S_t = \sigma)$$



$$\delta_t(\sigma, \sigma') \triangleq P(S_{t+1} = \sigma'; S_t = \sigma | r_{[0,T]})$$

➤ 得到前面的公式后，继而就可得到后验概率，为：

$$\begin{aligned} P\left(u_t^{(i)} = u \mid r_{[0,T)}\right) &= \sum_{(\sigma, \sigma') : \sigma \xrightarrow{u} \sigma'} P(S_t = \sigma; S_{t+1} = \sigma' \mid r_{[0,T)}) \\ &= \sum_{(\sigma, \sigma') : \sigma \xrightarrow{u} \sigma'} \delta_t(\sigma, \sigma') \end{aligned}$$

$$\begin{aligned} \text{及 } P\left(v_t^{(i)} = v \mid r_{[0,T)}\right) &= \sum_{(\sigma, \sigma') : \sigma \xrightarrow{v} \sigma'} P(S_t = \sigma; S_{t+1} = \sigma' \mid r_{[0,T)}) \\ &= \sum_{(\sigma, \sigma') : \sigma \xrightarrow{v} \sigma'} \delta_t(\sigma, \sigma') \end{aligned}$$

$(\sigma, \sigma') : \sigma \xrightarrow{u} \sigma'$  表示  $\sigma$  和  $\sigma'$  取自状态对集合，并在网格图中存在一条分支：在  $t$  时刻状态为  $\sigma$ ，当第  $i$  个信息信元为  $u_t^{(i)} = u$  时，转移到状态  $\sigma'$  ( $t+1$ 时刻)。  
 $(\sigma, \sigma') : \sigma \xrightarrow{u} \sigma'$  同理。

$\sigma : \sigma \rightarrow \sigma'$  表示  $t$  时刻的状态集合，这些状态必须满足在  $t+1$  时刻转移到状态  $\sigma'$  这个条件。  
 $\sigma' : \sigma \rightarrow \sigma'$  表示  $t+1$  时刻的状态集合，这些状态必须满足在时刻  $t$  状态为  $\sigma$  的条件。

计算各度量值：

$$\begin{aligned}\gamma_t(\sigma, \sigma') &= P(S_{t+1} = \sigma'; r_t | S_t = \sigma) \\ &= P(r_t | S_t = \sigma; S_{t+1} = \sigma') P(S_{t+1} = \sigma' | S_t = \sigma) \\ &= P(r_t | \nu(\sigma, \sigma')) P(S_{t+1} = \sigma' | S_t = \sigma)\end{aligned}$$

分支度量！

其中  $\nu(\sigma, \sigma')$  是  $t$  时刻状态为  $\sigma$ 、 $t+1$  时刻状态为  $\sigma'$  这条分支对应的码字。

如果在时刻  $t$ ， $\alpha_t(\sigma)$  的值已知，就可推导出  $t+1$  时刻的值，为：

$$\begin{aligned}\alpha_{t+1}(\sigma') &= P(S_{t+1} = \sigma' | r_{[0,t+1]}) = \sum_{\sigma: \sigma \rightarrow \sigma'} P(S_{t+1} = \sigma'; S_t = \sigma | r_{[0,t]}; r_t) \\ &= \frac{1}{P(r_t | r_{[0,t]})} \sum_{\sigma: \sigma \rightarrow \sigma'} P(S_{t+1} = \sigma'; S_t = \sigma; r_t | r_{[0,t]}) \\ &= k_{t+1}^\alpha \sum_{\sigma: \sigma \rightarrow \sigma'} P(S_t = \sigma | r_{[0,t]}) P(S_{t+1} = \sigma'; r_t | S_t = \sigma) = k_{t+1}^\alpha \sum_{\sigma: \sigma \rightarrow \sigma'} \alpha_t(\sigma) \gamma_t(\sigma, \sigma')\end{aligned}$$

前向状态度量！

如果在时刻  $t+1$ ,  $\beta_{t+1}(\sigma')$  的值已知, 就可推导出  $t$  时刻的值, 为:

$$\begin{aligned}\beta_t(\sigma) &= P(S_t = \sigma | r_{[t,T)}) \\ &= \sum_{\sigma': \sigma \rightarrow \sigma'} P(S_t = \sigma; S_{t+1} = \sigma' | r_t; r_{[t+1,T)}) \\ &= \frac{1}{P(r_t | r_{[t+1,T)})} \sum_{\sigma': \sigma \rightarrow \sigma'} P(S_t = \sigma; S_{t+1} = \sigma'; r_t | r_{[t+1,T)}) \\ &= k_t^\beta \sum_{\sigma': \sigma \rightarrow \sigma'} P(S_{t+1} = \sigma' | r_{[t+1,T)}) P(S_{t+1} = \sigma'; r_t | S_t = \sigma) \\ &= k_t^\beta \sum_{\sigma': \sigma \rightarrow \sigma'} \beta_{t+1}(\sigma') \gamma_t(\sigma, \sigma')\end{aligned}$$

**反向状态度量!**



对于由状态  $(S_t, S_{t+1}) = (\sigma, \sigma')$  定义的支路,  $\alpha_t(\sigma)$  表示到  $t$  时刻的序列的后验信息,  $\beta_{t+1}(\sigma')$  表示  $t+1$  时刻及之后的序列的后验信息, 状态之间的支路信息在  $\gamma_t(\sigma, \sigma')$  中。知道了这些信息, 就可计算  $\delta_t(\sigma, \sigma')$ , 为:

$$\begin{aligned}\delta_t(\sigma, \sigma') &= P(S_t = \sigma; S_{t+1} = \sigma' \mid r_{[0,T)}) \\ &= \frac{1}{P(r_{[0,T)})} P(S_t = \sigma; r_{[0,t)}) P(S_{t+1} = \sigma'; r_{[t,T)} \mid S_t = \sigma) \\ &= \frac{P(r_{[0,t)})}{P(r_{[0,T)})} \alpha_t(\sigma) P(S_{t+1} = \sigma'; r_t \mid S_t = \sigma) P(r_{[t+1,T)} \mid S_{t+1} = \sigma') \\ &= k_t^\delta \alpha_t(\sigma) \gamma_t(\sigma, \sigma') \beta_{t+1}(\sigma')\end{aligned}$$



**得到后验信息!**

# BCJR 算法归纳

**Initialization:**

$$\begin{aligned}\alpha_0(\mathbf{0}) &\leftarrow 1; \beta_T(\mathbf{0}) \leftarrow 1 \\ \gamma_t(\boldsymbol{\sigma}, \boldsymbol{\sigma}') &\leftarrow P(\mathbf{r}_t | v(\boldsymbol{\sigma}, \boldsymbol{\sigma}')) P(S_{t+1} = \boldsymbol{\sigma}' | S_t = \boldsymbol{\sigma}), \\ &0 \leq t < T; (\boldsymbol{\sigma}, \boldsymbol{\sigma}') \in \mathcal{S} \times \mathcal{S}\end{aligned}$$

**Forward recursion:**  $t$  from 0 to  $T - 1$ ;  $\boldsymbol{\sigma} \in \mathcal{S}$ ;

$$\alpha_{t+1}(\boldsymbol{\sigma}') \leftarrow k_{t+1}^\alpha \sum_{\boldsymbol{\sigma}: \boldsymbol{\sigma} \rightarrow \boldsymbol{\sigma}'} \alpha_t(\boldsymbol{\sigma}) \gamma_t(\boldsymbol{\sigma}, \boldsymbol{\sigma}')$$

**Backward recursion:**  $t$  from  $T - 1$  to 0;  $\boldsymbol{\sigma} \in \mathcal{S}$ ;

$$\beta_t(\boldsymbol{\sigma}) \leftarrow k_t^\beta \sum_{\boldsymbol{\sigma}': \boldsymbol{\sigma} \rightarrow \boldsymbol{\sigma}'} \beta_{t+1}(\boldsymbol{\sigma}') \gamma_t(\boldsymbol{\sigma}, \boldsymbol{\sigma}')$$

**Gather information:**  $0 \leq t < T$ ;  $(\boldsymbol{\sigma}, \boldsymbol{\sigma}') \in \mathcal{S} \times \mathcal{S}$ ;

$$\delta_t(\boldsymbol{\sigma}, \boldsymbol{\sigma}') \leftarrow k_t^\sigma \alpha_t(\boldsymbol{\sigma}) \gamma_t(\boldsymbol{\sigma}, \boldsymbol{\sigma}') \beta_{t+1}(\boldsymbol{\sigma}')$$

**Get a *posteriori* information**  $0 \leq t < T$

$$P(u_t^{(j)} = u | \mathbf{r}_{[0,T]}) \leftarrow \sum_{(\boldsymbol{\sigma}, \boldsymbol{\sigma}') : \boldsymbol{\sigma} \xrightarrow{u} \boldsymbol{\sigma}'} \delta_t(\boldsymbol{\sigma}, \boldsymbol{\sigma}'), 1 \leq j \leq b$$

$$P(v_t^{(j)} = v | \mathbf{r}_{[0,T]}) \leftarrow \sum_{(\boldsymbol{\sigma}, \boldsymbol{\sigma}') : \boldsymbol{\sigma} \xrightarrow{v} \boldsymbol{\sigma}'} \delta_t(\boldsymbol{\sigma}, \boldsymbol{\sigma}'), 1 \leq j \leq c$$